

## **Evaluating novel adjuvant systems for the induction of humeral and cellular immune responses in hepatitis C virus capsid protein immunization**

Aghasadeghi MR, Sadat SM, Bahramali G, Hekmat S, Motevali F, Alizadeh S, Kadkhodaeian S, Rouhvand F\*

Department of Hepatitis and AIDS, Pasteur Institute of Iran, Tehran, I. R. Iran

Received August 19, 2009; Accepted February 1, 2010

### **Abstract:**

**Background:** As a worldwide problem, hepatitis C Virus (HCV) infection similar to HIV and vaccine studies on HCV is among the hottest research topics in the field. Such a vaccine should elicit strong humeral and cellular responses against HCV antigens (Ags). The major aim of the present study was to compare and optimize the responses against HCV core protein (HCVcp) immunization formulated in novel human compatible adjuvants.

**Materials and Methods:** BALB/c mice were immunized by HCVcp, purified in native conditions and in different adjuvant formulation in separate following groups: Ag+CpG, Ag+M720 (Montanide ISA 720), Ag+F127 (Pluronic acid) and cocktails of Ag+F127+CpG and Ag+M720+CpG. ELISA-based assays were used to analyze IgG, cytokine and CTL responses.

**Results:** The M720 (+CpG) immunized mice developed the highest HCVcp-specific titrations of total IgG, IgG1, 2a, 2b, and that of IFN- $\gamma$  and IL-4 cytokines. HCVcp-specific-CTLs against relevant MHC class I peptides were detected only for Ag+M720+CpG, Ag+M720, and Ag+CpG groups, could be blocked by antimouse-CD8 antibodies and were stable for one year post-immunization.

**Conclusions:** The M720 formulation of HCVcp (with a synergistic effect by inclusion of CpG) induces equally strong Th1/Th2 responses and stable CTLs.

**Keywords:** Core protein, HCV, Novel adjuvant, Immunization in BALB/c

\* Corresponding Author.

Email: rfarzin@pasteur.ac.ir

Tel: 0098 21 669 69291

Fax: 0098 21 669 69291

**Conflict of Interests:** No

Feyz, Journal of Kashan University of Medical Sciences Spring 2010; Vol 14, No 1, Pages 26-39

ارزیابی چند سیستم ادجوانت جدید برای ایجاد پاسخ ایمنی همورال و سلولی در  
ایمنی زایی با یروتوئن کیسید ویروس هیاتیت C

۱ محمد رضا آقادادی، سید مهدی سادات، گلناز بهرامعلی، سهیلا حکمت، فاطمه متولی، شهاده علیزاده  
۲ \*۱ سمهه کدخدائان، فریز، دوچوند

خلاصة

**سابقه و هدف:** عفونت ویروس هپاتیت C همانند HIV یکی از معضلات عمده بهداشت جهانی است، از این رو مطالعه برای تولید واکسن بر علیه ویروس هپاتیت C (HCV) یکی از موضوعات بسیار مهم تحقیقاتی می‌باشد. واکسن تهیه شده باید پاسخ‌های سلولی و هومولوک قوی را در مقابل آنتی‌ژن‌های HCV ایجاد نماید. لذا، هدف اصلی مطالعه حاضر مقایسه و بهینه سازی پاسخ‌های ایمنی بر علیه HCVcp با استفاده از HCVcp بهینه شده است.

**مواد و روش‌ها:** موش‌های BALB/c به وسیله HCVcp تخلیص شده در شرایط Native و با استفاده از ادجوانت‌های مختلف در گروه‌های Ag + M72o +CpG Ag + M72o (Montanide ISA 720) Ag + F127 (Pluronic acid) Ag + CpG

نتایج: گروه موشی ایمنی زایی شده به وسیله M720 + CpG بر علیه پیتیدهای HCVcp می تواند تیتر آتنی بادی های IgG 2a، IgG 1، IgG 2b، IgG1، IgM MHC Class I را ایجاد کند. این ایمنی می تواند با اینکه میکروب از بدن بگذرد اما باقی نماند، این ایمنی می تواند باعث ایجاد ایمunitی موقتی شود. این ایمنی می تواند باعث ایجاد ایمunitی موقتی شود.

بعد از اینمی زایی پایدار بودند.

نتیجه گیری: ترکیب M720 با آنتی ژن HCVcp (با یک اثر سینزرویک همراه با CpG) باعث القای همزمان پاسخهای قوی Th1/Th2 و CTL پایدار می‌گردد.

واژگان کلیدی: پروتئین Core، هپاتیت C، ادجوانت جدید، ایمنی زایی در موش

- فصلنامه علمی - پژوهشی فیض، دوره چهاردهم، شماره ۱، بهار ۱۳۸۹، صفحات ۳۹-۲۶

مقدمة

الودگی با ویروس هپاتیت C (HCV) یکی از مهمترین عفونت‌های خونی است که باعث بروز بیماری‌های مزمن کبدی می‌گردد؛ این ویروس در سال ۱۹۸۹ شناسایی شد [۱]. میزان شیوع جهانی عفونت HCV در حدود ۳ درصد بوده که چهار برابر میزان شیوع HIV است و این مورد بیان‌گر آن است که بیش از ۲۰۰ میلیون نفر به این بیماری مزمن مبتلا بوده و هر ساله ۴ میلیون نفر نیز به این تعداد افزوده می‌شود [۲]. ابتلای حتی ۱۰ درصد از مبتلایان به HCV، به سیروز کبدی یک تهدید جدی علیه سلامت ملی و جهانی خواهد بود [۳].

<sup>۱</sup> استادیار، گروه هیاتیت و ایدز، انسستیتو پاستور ایران

<sup>۲</sup> کارشناس ارشد، گروه هیاتیت و ایدز، انسستیتو پاستور ایران

۳ مریم، گروه هیاتیت و ایدز، انسیتیو پاستور ایران

\* نیشنل / نویسنده موسوی

تهران، خیابان پاستور، انتستیتو پاستور ایران، گروه هپاتیت و ایدز و آزمایشگاه بانک آن نوچ کیب ابران

• ٢ | ٤٤٩٤٩٢٩ | دیواریات - نویسندگان

tour as in [www.FSII.com](http://www.FSII.com)

مکتبہ اسلامیت

لاریج پدیداری نهادی: ۱۰/۱۲/۸۸

پروتئین‌های نوترکیب NS3 و NS5B از HCV [۱۸-۲۰] و ذرات شبه یروسی (VLPs) بیان شده در سلول حشره شامل (M720) Montanid Core/E1/E2 منتشر شده است [۲۱، ۲۲]. ISA ۷۲۰ یک ادجوانات نسبتاً جدید بوده (Seppic, France) که دارای روغن‌های متابولیزه شده طبیعی و ترکیب تصفیه شده mannide می‌باشد. این آدجوانات به عنوان یک ابزار یا محل نگهداری جهت کاهش سرعت رهاش و محافظت آنتی ژن از آنزیم‌های پروتولیتیک و همچنین بهبود ارائه آنتی ژن به سلول‌های T، عمل می‌نماید. افزایش پاسخ‌های ایمنی به وسیله ترکیبی از CpG با پروتئین‌های HCV-NS3 و ۵B در موش‌های ایمن شده [۱۸] و در مطالعات مربوط به تهیه واکسن مalaria و نیز بررسی ایمنی زایی آنها در حیواناتی مانند موش، خرگوش و میمون گزارش شده است [۲۳، ۲۴]. F127 Pluronic F127 Copolymer surfactant پیشنهادی دیگری است که یک غیریونی و ثابت کننده بوده و شکل طبیعی پروتئین‌ها را در غلظت‌های بالا حفاظت می‌کند؛ این ماده به طور وسیعی در صنعت داروسازی جهت فرآورده‌هایی که مصرف انسانی دارند، استفاده می‌شود [۲۵]. اخیراً نشان داده شده است که کاربرد همزمان F127 به همراه CpG نسبت به هم اثرات سینتریکی داشته و منجر به افزایش پاسخ ایمنی نسبت به سمت کزار (TT) می‌گردد [۲۶، ۲۷]. در یک مطالعه، ما بعد از اقدام به بیان و تخلیص HCVcp در ایجاد ایمنی زایی و تولید mAbs را بررسی کردیم [۵]. در مطالعه حاضر، ضمن معرفی یک روش تخلیص بسیار موثر برای حداقل خلوص، بررسی دقیقی بر اثر ادجوانات‌های جدید در میزان ایمنی زایی این پروتئین انجام گرفته است. نتایج حاصل از مطالعه حاضر گواه آن است که HCVcp بیان شده در *E. coli* و تخلیص شده در شرایط طبیعی، به جهت افزایش احتمال ذره سازی [۲۸] می‌تواند بسته به نوع ترکیب آدجوانات، باعث القای سطوح مختلفی از پاسخ‌های Th1/Th2 در موش‌های BALB/C شود؛ همچنین، یک اپی توپ جدید CD4<sup>+</sup>CD8<sup>+</sup>CTL اختصاصی HCVcp که در محدوده اسیدهای آمینه ۳۹-۲۷ از پروتئین قرار گرفته در این مطالعه معرفی شده است.

### مواد و روش‌ها

تولید، شناسایی، القاء، بهینه سازی و بررسی بیان پروتئین : HCVcp پلاسمید بیانی pIVEX2.3 دارای ژن مربوط به ساختار اول (I) از پروتئین Core (آمینواسید ۱۲۲-۲) domain به همراه

HCV باعث کاهش و محدودیت تکثیر ویروس تا پاکسازی نهایی آن از بدن میزبان آلووده می‌شود [۳، ۷]. علاوه بر این، بسیاری از شواهد بیان‌گر آن است که احتمالاً CTL های CD8<sup>+</sup> نقش حیاتی در حذف HCV طی دوره پاکسازی خود به خودی ویروس بدون درمان با ایترفرنون و همچنین در حین درمان ضدویروسی با ایترفرنون بازی می‌کند [۹، ۸]. ژن مربوط به پروتئین Core ویروس هپاتیت C (HCVcp)، در بین ژنوتیپ‌های مختلف HCV از محافظت شده‌ترین ژن‌هاست؛ همچنین این پروتئین دارای چندین شاخص خوب شناخته شده CTL Cell و CTL بوده و نشان داده شده است که حضور CTL های Core درین درمان با INF باعث بهبود اختصاصی علیه پروتئین Core در حین درمان با سریع تر افراد مبتلا می‌شوند [۱۰، ۱۱]. به علاوه مشاهده شده است که علی‌رغم حضور چنین CTL هایی علیه HCVcp امکان پیدایش واریانت‌های جهش یافته فرار کننده از CTL برای این پروتئین که قبل از شرح آن برای دیگر آنتی ژن‌های ویروسی مانند E2 و NS3 داده شده است، ایجاد نمی‌گردد [۱۲]. بنابراین HCVcp یک کاندید اولیه برای به کارگرفته شدن در واکسن HCV برای درمان (Therapeutic) و پیشگیری (prophylactic) مطالعاتی جهت کاربرد این پروتئین (HCVcp) در ساخت واکسن احتمالی علیه این عفونت انجام گردیده است [۱۳، ۱۴]: هرچند در غیاب آدجوانات‌های مناسب، آنتی ژن‌های نوترکیب مانند HCVcp، عموماً، پاسخ‌های ایمنی سلولی ضعیف و متمایل به Th<sub>2</sub> القاء می‌نمایند [۱۵] به علاوه، علی‌رغم بی ضرر بودن آنها، آدجوانات‌هایی مانند ترکیبات آلومنیومی (آلوم) که اخیراً جهت مصرف گسترش در انسان تأیید شده‌اند، به نسبت ضعیف بوده و اغلب نیازمند چندین دوره ایمن سازی به منظور تولید آنتی بادی‌های حفاظتی می‌باشد و البته این آدجوانات‌ها نیز پاسخ سلولی متمایل به Th<sub>2</sub> را نیز ایجاد می‌نمایند [۱۶]؛ بنابراین تحقیقات در مرور آدجوانات‌های سازگار با انسان در ترکیب با آنتی ژن‌های مختلف جهت تهیه واکسن ضرورت دارد. الگویی اکسی نوکلئوتیدهای (ODNs) در بردارنده سیتوزین-گوانین دی متیله شده (CpG) موتیف‌های دی نوکلئوتید (CpG ODNs) به عنوان گروه جدیدی از آدجوانات‌ها هستند که به واسطه افزایش MHC Class I- عرضه پروتئین‌های محلول به وسیله restricted T cells به طور غیر مستقیم باعث تحریک ایمنی Toll-like receptor (TL R9) می‌شوند [۱۷]. برخی گزارش‌های جدید مبنی بر ایمن سازی همزمان توسط CpG ODNs به همراه

محلول F127,8% در ترکیب با آنتی ژن (HCVcp) جهت ایمن سازی موش ها مورد استفاده قرار گرفت. HCVcp با Montanide ISA 720 به نسبت ۷:۳ (فاز روغنی به آبی)، با CpG ODN ۱۸۲۶ به مطالعه حاضر ۳' TCC ATG ACGTTC CTG ACG TT ۵' مربوط به موش BALB/c مورد استفاده قرار گرفت [۳۰]. برای این منظور CpG به ترکیبات موردنظر در غلظت ۵۰ µg به ازای هر موش اضافه شد. جهت ارزیابی ترکیبات جدید، ایمنی زایی آنها به وسیله ترکیب HCVcp و ادجوانات های کلاسیک کامل و ناقص فروند (C/IFA) مورد مقایسه قرار گرفتند. ترکیبات مشابهی از ادجوانات های بدون حضور HCVcp و یا جایگزین کردن آن با PBS به عنوان کنترل منفی به کار رفتند. به طور کلی ۹ ترکیب Ag+C/IFA، HCVcp و PBS+M720: Ag+PBs، Ag+F127,Ag+M720, Ag+CpG و مخلوطی (Ag+PBs), Ag+F127,Ag+M720, Ag+CpG از G و Ag+M720+CpG و Ag+F127+CpG و در گروه کنترل PBS+F127+CpG، PBS+M720+CpG گرفت. جهت ترکیب ۳ µg از آنتی ژن به همراه آدجوانات های غلظت های یاد شده آنتی ژن- ادجوانات توسط یک سرنگ دو سر مخلوط کننده کاملاً مخلوط شده تا در نهایت یک مخلوط سفید شیری رنگ همگن برای تزریق به دست آید.

#### ایمن سازی موش ها:

ده موش ماده c/BALB/ ۶-۸ هفتاهی و با وزن متوسط ۲۰ گرم برای هر گروه به صورت داخل عضلانی در بخش قدامی عضلات درشت نی به وسیله ۱ml از ایمنوژن ها در هفته های ۳، ۵ و ۶ ایمن سازی شدند [۳۱]. سه هفته بعد از آخرین تزریق، ۵ موش از هر گروه انتخاب و کشته شده و نمونه های خون و طحال آنها جمع آوری و بقیه موش ها جهت مطالعات دراز مدت تا یک سال دیگر نگهداری شدند. طبق مطالعات و گزارش های قبلی روى موش هایی که با HCVcp ایمن شده بودند، ایمنی زایی بوسیله HCVcp ۳ µg، به ازای هر موش با ۲ تزریق یادآور انجام گرفت [۱۴].

#### تست ELISA

واکنش ایمنی HCVcp نسبت به سرم های انسانی HCV مثبت و پاسخ آنتی بادی موش های ایمن شده با HCVcp به وسیله ELISA مورد تجزیه و تحلیل قرار گرفت. به طور خلاصه، پروتئین تخلیص شده HCVcp به میزان ۱ µg/ml به عنوان مولکول پوشاننده در کف پلیت های الیزا

توسط روش های استاندارد در مطالعه قبلی ما [۴] ساخته و در باکتری E.coli BL21-AI (Invitrogen USA) ترانسفورم شد. پروتئین بیان شده تحت سیستم القاء پروموتور araBAD با کاربرد آراینوز ۰/۲ درصد بیان شده [۲۹] و به منظور ایمن سازی موش ها، به روش Affinity-Chromatography و با استفاده از ستون NI-NTA-Agarose (Qiagen) نیکل- نیتریلوتری استیک اسید) و شرایط طبیعی (Native) با کمک ایمیدازول تخلیص گردید و در نهایت با استفاده از ستون های PD-10 (Amersham Biosciences, Germany) ایمیدازول حذف گردید. در پایان، پس از دو بار تخلیص پروتئین (VIVa Spin Viva Science-Germany) با استفاده از اولترافیلتراسیون و از طریق تفلیط کننده SELDI-TOF (Protein Chip Array NPI Chip) با توجه به پروتکل شرکت Chifehergen Biosystem نسخه ۳.2.1 software ایمن سازی مورد استفاده قرار گرفت. جهت تعیین سطح استفاده از QCL-1000 Chromogen اندوتوكسین از تست

#### ایمنوپلاتینگ:

پس از ارزیابی پروتئین اولیه نوترکیب توسط SDS-PAGE ۱۲٪، پروتئین مذکور به غشاء نیتروسولولوزی منتقل شده و به وسیله Skimmed milk ۳٪ بلوکه شد. سپس، نوارهای HCV غشاء حاوی پروتئین در آزمایش های مختلف توسط بیماران مثبت مخلوط شدند. سرم موش های ایمن شده و مونوکلونال آنتی- HCV Core که ابی توپ (aa 21-40) در انتهای N از HCVcp را شناسایی می کند، مورد استفاده قرار گرفت (Alexis Biochemical uk). بعد از مراحل متعدد شستشو، نوارها به همراه Anti-human IgG-HRP (فقط در موارد سرم انسانی) و یا Anti-mouse IgG-HRP ( فقط در موارد سرم انسانی) با استفاده از سوبسترای DAB مورد ارزیابی قرار گرفتند. سرم های انسانی HCV منفی و سرم موش ایمن نشده به عنوان کنترل منفی مورد استفاده قرار گرفتند.

#### فرمولاسیون ایمونوژن:

محلول اولیه Pluronic F127 (sigma) به صورت ۱۶٪ (w/w) در PBS سرد شده را در بخ تهیه کرده و نهایتا

طراحی <http://biomos.dert.nih.gov/moio/hla.bind> شد. همه پپتیدها در DMSO و در غلظت ۱۰ mg/ml ۱۰ حل گردیده و به عنوان محلول ذخیره نگهداری شدند.

#### ارزیابی ترشح سایتوکاین:

Murine آزاد سازی سایتوکاین توسط کیت Cytokine ELISA (Ucytech, Netherland) دستورالعمل شرکت سازنده تعیین شد. به طور خلاصه، سلول های طحال (Effecter cells) موشی به میزان  $2 \times 10^6$  Cell/ml در محیط کشت DMEM حاوی ۱۰ درصد FBS و ۲۰۰ mM گلوتامین و آنتی بیوتیک در حجم ۱ml ۲۰۰ در غیاب یا در حضور HCVcp (۱۰ µg/ml) در پلیت های استاندارد الیزا کشت داده، و پس از ۷۲ ساعت انکوباسیون در دمای ۳۷ درجه سانتیگراد، چاهک جمع آوری گردید و تیتر IL-4 و IFN-γ توسط کیت مذکور سنجش گردید.

ارزیابی لنفوцит های T سایتوکسیک در محیط برون تنی: CTL های اختصاصی HCVcp به وسیله تست (Cytotox96, promega) Lactate Dehydrogenase (LDH) طبق دستورالعمل کارخانه سازنده با اندکی تغییر در روش آزمایش، اندازه گیری شد. به طور خلاصه، یک هفته قبل از جداسازی سلول های طحال، تزریق های یادآور HCVcp روی موش ها انجام شد. سپس سلول های طحال (Effecter cells) موش های این شده به مدت ۵-۶ روز در محیط DMEM حاوی ۵ U/ml Murine IL-2، ۵ ME ۱۰<sup>-۵</sup> M ۲-ME و ۵ FBS در حضور یا عدم حضور محرك هر یک از پپتیدهای سنتیک یا پروتئین های HCVcp به میزان ۱۰ µg/ml به طور جداگانه کشت داده شد؛ همچنین، سلول های هدف (Target cells) P<sub>8,15</sub> (BALB/c) با محرك تحریک (رده سلولی ماستوپیوتومی موش) شده و کشت داده شدند و در نسبت های گوناگون شده و کشت داده شدند و در نظر گرفته شدند. در نهایت، در هر آزمایش فعالیت لیتیک (Lytic) به وسیله ۶-۵ ساعت انکوباسیون E/T و سپس اندازه گیری تیتر LDH آزاد شده به واسطه سنجش جذب نوری در ۴۹۰ nm محاسبه شد و میانگین آزمایش های سه گانه تهیه شد. درصد لیز اختصاصی، طبق فرمول ارائه شده در کیت محاسبه و کنترل های تست طبق پیشنهاد کارخانه سازنده در نظر گرفته شده بود. در تمامی آزمایشات میزان رهاسازی خود به خودی LDH. در طی انجام تست، همیشه کمتر

(Nunc, Denmark) 96-well polyvinyl chloride plate مورد استفاده قرار گرفت. بعد از شستشو و مراحل بلوکه کردن، چاهک ها با سرم های انسانی HCV مثبت رقیق شده و یا سرم های موشی (به دست آمده توسط خون گیری از شبکه Retro Orbital ) پر شده و به مدت یک ساعت در دمای ۳۷°C انکوبه شدند. بعد از شستشو، آنتی بادی ثانویه Anti Human IgG- Goat Anti Mouse IgG-HRP به اضافه ۳۷ درجه سانتیگراد به مدت یک ساعت انکوبه شد. در نهایت با (Tetramethyl Benzidine, Sigma) TMB و پس از افزودن محلول متوقف کننده در طول موج ۴۵۰nm جذب نوری چاهک ها قرائت شد. رقت های سرمی مختلف بر اساس آنتی بادی (OD=۰/۵) تعیین شد. تمامی آزمایش ها برای حداقل پنج موش و با سه بار تکرار انجام پذیرفت. ایزوتایپ ها و زیر کلاس های IgG همان گونه که در بالا توضیح داده شد با استفاده از آنتی بادی های اختصاصی IgG<sub>1</sub>, IgG<sub>2a</sub>, IgG<sub>2b</sub>, IgG<sub>3</sub> Anti Goat IgG-HRP تعیین گردید. در تمامی آزمایش ها میزان cut-off به مقدار دو برابر میانگین جذب کنترل منفی (سرم موش های این نشده یا سرم های منفی انسانی) در نظر گرفته شد و هر نمونه سه بار سوراخ بررسی قرار گرفت.

#### پپتیدها:

برای تحریک سلول های طحال در شرایط آزمایشگاه، پنج پپتید اختصاصی HCVcp H-2<sup>d</sup> restricted (specific peptide HCVcp H-2<sup>d</sup> restricted) مربوط به پروتئین Core که وابسته به پاسخ های CD<sup>8+</sup> CTL و شامل ۱۰-۱۳ آمینواسید بودند (P<sub>1-P<sub>5</sub></sub>)، با حداقل ۹۵ درصد خلوص سنتز شدند (Mimotopes, Australia). پپتید P<sub>1</sub> با توالی NRRPQDVKFP که در مطالعات قبلی به عنوان یک اپی توب Sub-dominant موشی که با پاسخ ضعیف در CTL و همچنین پپتید P<sub>5</sub> با توالی DLMGYIPLVGAPLG که در توالی خارج از محدوده پروتئین مورد ارزیابی (۲-۱۲۲ aa) قرار دارد، به عنوان کنترل منفی استفاده شدند [۳۲]. پپتید P<sub>3</sub> (اسید آمینه ۴۸-۳۹) با توالی RRGRRLLGVRA که در مطالعات قبلی به عنوان یک آنتی ژن ایمنودومینانت قوی معرفی شده است، به عنوان کنترل مثبت استفاده شد [۳۳]. پپتید P<sub>2</sub> (۳۹-۲۷ aa) با توالی GCQIVGGVYLLRP و پپتید P<sub>4</sub> (۱۱۰-۱۱۹ aa) با توالی TDPRRRSRNL بر اساس HLA peptide binding prediction software نرم افزار کمتر از طریق آدرس زیر قابل دسترسی است:

به وضوح قابل مشاهده است. در مقابل، پاسخهای اختصاصی آنتی بادی در گروههای F127 و F127+CCpG C/IFA (شکل شماره ۲) تفاوت معناداری را نشان ندادند؛ هرچند که مقداری پاسخ آتناکوگنیستی نیز برای گروه CpG+F127 نیز مشاهده گردید. از آنجایی که تولید سایتوکاین IL-4 با پاسخ IgG<sub>1</sub> مرتبط بوده و تولید سایتوکاین IFN-γ نیز با تولید IgG<sub>2a</sub>، IgG<sub>2b</sub> مرتبط می-باشد، و همان طور که در شکل شماره ۲ نشان داده است، در ارزیابی ایزوتاپهای IgG در تمامی گروهها، IgG<sub>2a</sub> ایزوتاپ غالب بود (شکل شماره ۲). هر چند گروه M720 به طور معناداری تیترهای بالاتری از IgG<sub>2a</sub> را نشان دادند، ولی مجموعه شامل M720+CpG اثر آتناکوگنیستی ناچیزی روی ایزوتاپ IgG<sub>2a</sub> داشتند و در مقابل تیتر IgG<sub>2b</sub> به طور ناچیزی به وسیله این ترکیب آدجواناتی افزایش یافته بود (شکل شماره ۲). در F127, F127+CpG, CpG, مجموع در موش‌های ایمن شده با Anti HCV سرم IgG<sub>2a</sub>/IgG<sub>1</sub> نسبت C/IFA پایین‌تر از ۱ بود (پاسخ جهت دار Th<sub>2</sub>). گروه ایمن شده با فرمولاسیون آنتی-ژن (HCVcp) به تنها، فقط باعث ایجاد تیترهای پایین آنتی بادی اختصاصی IgG یا سایتوکاین‌های ترشح شده نسبت به گروه کنترل گردید. همان‌گونه که در شکل شماره ۳ نشان داده شده، ایمنی زایی با فرمولاسیون M720+CpG و HCVcp C/IFA به صورت معناداری تیترهای بالایی از IFN-γ (~100pg/ml) نسبت به سایر گروههای آدجواناتی شامل گروه CpG (~100pg/ml) و گروه F127 (~200pg/ml) را نشان داد. همچنانکه پاسخ معناداری از ترشح IFN-γ در موش‌های ایمن شده با فرمولاسیون F127 مشاهده نگردید. بر اساس داده‌ها، اثرات سینزیزیک ضعیفی به وسیله فرمولاسیون CpG+M720 مشاهده شد و از طرفی در مقابل اثر آتناکوگنیستی F127 در برابر CpG در مورد ترشح سایتوکاین IFN-γ مشاهده گردید (شکل شماره ۳). استثنایاً تیتر بالای ترشح سایتوکاین (~500 pg/ml) فقط برای فرمولاسیون M720 و M720+CPG نشان داده شد (شکل شماره ۳).

پاسخهای CTL فرمولاسیون‌های HCVcp با ادجوانات های مختلف:

پاسخهای CTL در گروههای ایمن شده با فرمولاسیون CpG و M720, M720+CpG درصد بالایی از لیز اختصاصی سلول‌های هدف (P815) را در نسبت‌های مختلف E/T نشان دادند (شکل شماره ۴). در مقابل در سایر گروههای ایمن شده با فرمولاسیون‌های C/IFA, F127, HCVcp, F127+CPG و

از ۵ درصد و بیشترین میزان رهاسازی (لیز در حضور ۱ درصد  $\times 100$  Triton) بوده است. جهت ارزیابی نوع سلول‌های CTL از دو نوع آنتی بادی مونوکلونال موشی ضد CD<sub>8</sub><sup>+</sup>, CD<sub>4</sub><sup>+</sup> (Dako) استفاده شد.

بررسی آماری:

تفاوت‌های معنی‌دار آماری و تست‌های CTL, میزان ترشح سایتوکاین و تیتر آنتی بادی اختصاصی تولید شده در گروه‌های موشی ایمن شده، به وسیله آزمون‌های t (در مورد مقایسه دو گروه) و یا ANOVA (در مورد مقایسه بیشتر از دو گروه) بررسی و ارزیابی شد. در موارد انجام ANOVA گروه دارای اختلاف معنی‌دار با تست تعقیبی توکی مشخص شدند. در تمامی آزمایشات  $P < 0.05$  معنی‌دار در نظر گرفته شد.

## نتایج

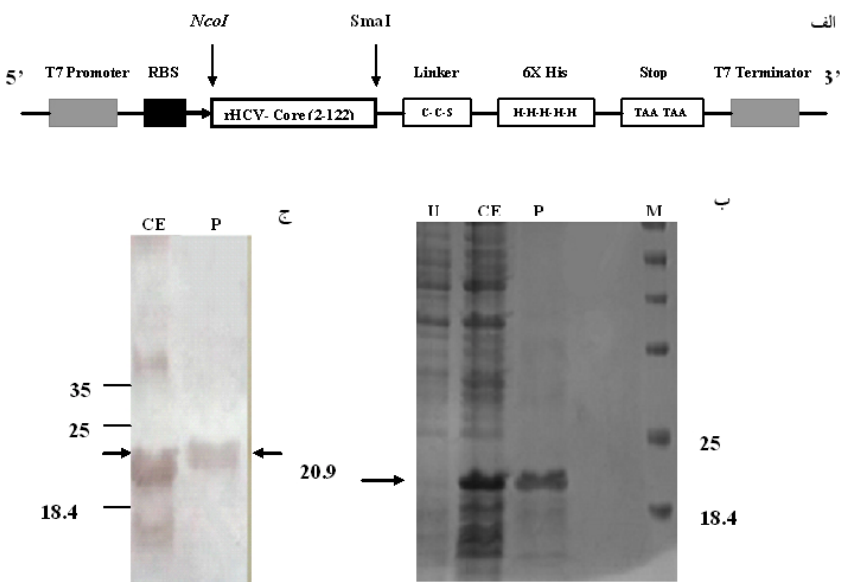
خصوصیات HCVcp بیان شده در *E.coli* همان طور که در شکل شماره ۱. الف نشان داده شده است، بیان بالای HCVcp پس از افزودن آرایبیوز در سیستم مشاهده گردید که تحت کترل پرومومتور *E.coli* BL21-AI araBAD می‌باشد [۲۹]. با استفاده از آنالیز دانسیتومتری (Lab SDS work software, UK) با درجه خلوص ۸۵ درصد مشاهده می‌گردد. محصول به PAGE با درآمد برای HCVcp از قسمت قابل حل (سیتوزولیک) باکتری به شکل طبیعی (Native)، حدود ۲/۵ mg/ml بود و شامل کمتر از ۲۵ واحد اندوتوکسین در  $\mu\text{g}$  از پروتئین مذکور بوده است. آنالیز انجام شده توسط Western blotting (شکل ۱. ج) و الیزای سرم انسانی HCV مثبت (اطلاعات مربوط نشان داده نشده است) آنتی ژنیستیه مناسب از HCVcp را نشان داد. وزن مولکولی HCVcp (با اسید آمینه‌های اضافه شامل برچسب هیستیدینی) شکل شماره ۱، ۱۸ KDa محاسبه گردید.

بررسی پاسخ هومورال و سنجش ترشح سایتوکاین در گروههای مختلف موش‌های ایمن شده:

در این مطالعه تمام حیوانات واکسینه شده با فرمولاسیون‌های مختلف، پاسخ IgG اختصاصی با تیترهای مختلف را نشان دادند (شکل شماره ۲). ایمن سازی موش‌ها با HCVcp همراه با ادجوانات ها M720+CpG به طور معناداری تیتر بالاتری از نوع IgG اختصاصی را نسبت به سایر گروه‌ها نشان داد. در فرمولاسیون ترکیب فوق، اثرات سینزیزیک برای این دو ادجوانات

که سلول‌های موثر (Effector) از نوع  $CD_8^+ CD_4^-$  بودند؛ زیرا فقط Anti  $CD_8^+$  و نه مونوکلونال آنتی بادی ضد موشی  $CD_4^+$  سبب افت پاسخ سلولی (CTL) گردید. (شکل‌های شماره ۴، ۵، ۶). جالب است که پس از گذشت یکسال از اینمی‌زایی موش‌ها با فرمولاسیون‌های CPG، M720، M720+CPG پاسخ CTL با محک‌های پیتیدی  $P_3$  و  $P_2$  همچنان قابل مشاهده بود.

گروه‌های کنترل، هیچ پاسخ CTL قابل ملاحظه و معناداری مشاهده نشد. هیچ پاسخی در تحریک با پروتئین خالص و یا پیتیدهای کنترل منفی (P4، P1) مشاهده نگردید؛ اما، همان‌گونه که در شکل ۴ مشاهده می‌شود، در تحریک با پیتیدهای ۲ و ۳ پاسخ سلولی اختصاصی  $CD_8^+ T\text{-cell}$  مشاهده گردید. به علاوه، بلوکه کردن CTL با مونوکلونال آنتی بادی ضد موشی  $CD_8^+$  نشان داد



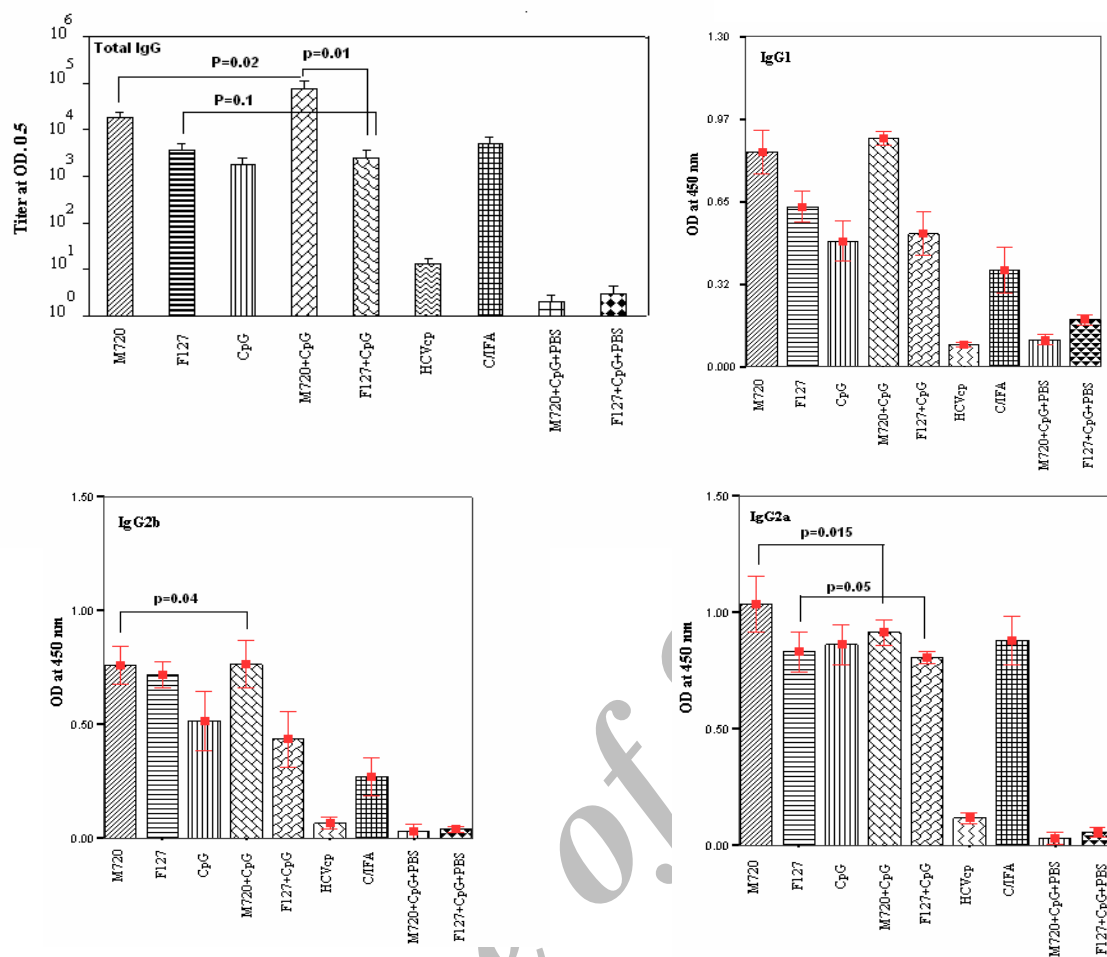
شکل شماره ۱- کلوزینگ و بیان HCVcp در *E.coli*-BL21AI (الف) تصویر شماتیک وکور بیانی pIVEX2.3- HCVcp شامل ژن RBS سایت اتصال ریبوزوم، ATG که قسمتی از سایت برش *NcoI* می‌باشد، کدون آغازین است. آنالیز بیان پروتئین در قسمت ب به وسیله SDS-PAGE و در قسمت ج با وسترن بلاط نشان داده شده است. ستون U مربوط به توده باکتری استخراج شده قبل از القاء به وسیله آرابیوز می‌باشد. ستون CE توده باکتری لیز شده سه ساعت بعد از القاء است. ستون P پروتئین HCVcp تخلیص شده به وسیله موش Native سلولی. ستون M مارکر پروتئینی در مقیاس کیلodalton می‌باشد. مونوکلونال آنتی بادی بر علیه اپی توپ اسید آمینه ۲۱-۴۰ در ناحیه انتهایی آمینی استفاده شده است. فلاش‌های نشان داده شده در قسمت چپ باندهای پروتئینی سایز ۲۰/۹ KDa از HCVcp را که به وسیله SELDI-TOF اندازه‌گیری و تایید شده، نشان می‌دهد (اختلاف در محل باندهای پروتئینی در ستون‌های CE و P به دلیل الکتروفورز مقادیر بالایی از پروتئین استخراج شده در ژل می‌باشد که به صورت پروتئین دایمر ناحیه ۴۰ KDa فقط در ستون CE نشان داده شده است و در ستون P تخلیص شده دیده نمی‌شود).

مولکولی HCVcp تقریباً ۱۸ KDa بود، اما، این پروتئین کوتاه شده کپسید ویروس، حرکت نسبتاً کندتری را در SDS-PAGE نشان داد و در حقیقت میزان اندازه‌گیری شده توسط روش اسپکتروفوتومتری SELDI/TOF دقیقاً ۲۰/۹ KDa بود. این نتایج با مطالعه قبلی که بر روی HCVcp (۱۲۰ اسید آمینه) در سیستم القایی IPTG که در باکتری *E.coli* انجام گرفته (۲۱ KDa) مطابقت دارد [۳۴]. پروتئین کامل کپسید HCV (۱۹۱-۱۱۱) دارای سه بخش اصلی می‌باشد؛ بخش هیدروفیلیک (اسید آمینه‌های ۱-۱۲۰) و بخش‌های هیدروفوبیک باقیمانده بعدی [۳۵].

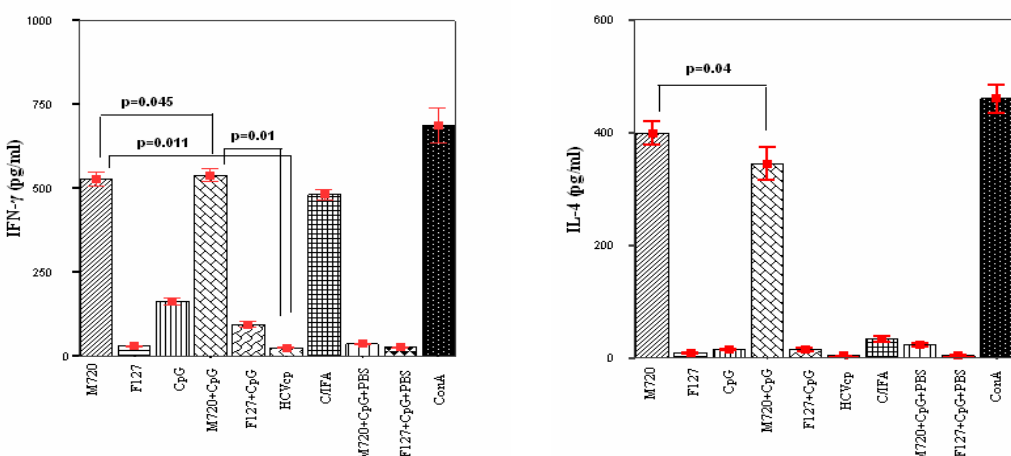
## بحث

در مطالعه حاضر ضمن ارائه یک روش بهینه برای بیان و خالص سازی پروتئین نوترکیب Core ویروس هپاتیت C، بررسی اینمی‌زائی ترکیب این پروتئین با ادجوانات‌های قابل کاربرد در انسان انجام پذیرفت. محصول به دست آمده برای HCVcp از قسمت قابل حل (سیتوزولیک) در فرم طبیعی (Native) حدود ۲/۵ mg/lit بود. آنالیز انجام شده توسط وسترن بلازینگ و الیزا بر روی سرمه انسانی HCV مثبت بیان‌گر آنتی ژنیستی مناسب HCVcp به دست آمده می‌باشد. مقدار محاسبه شده وزن

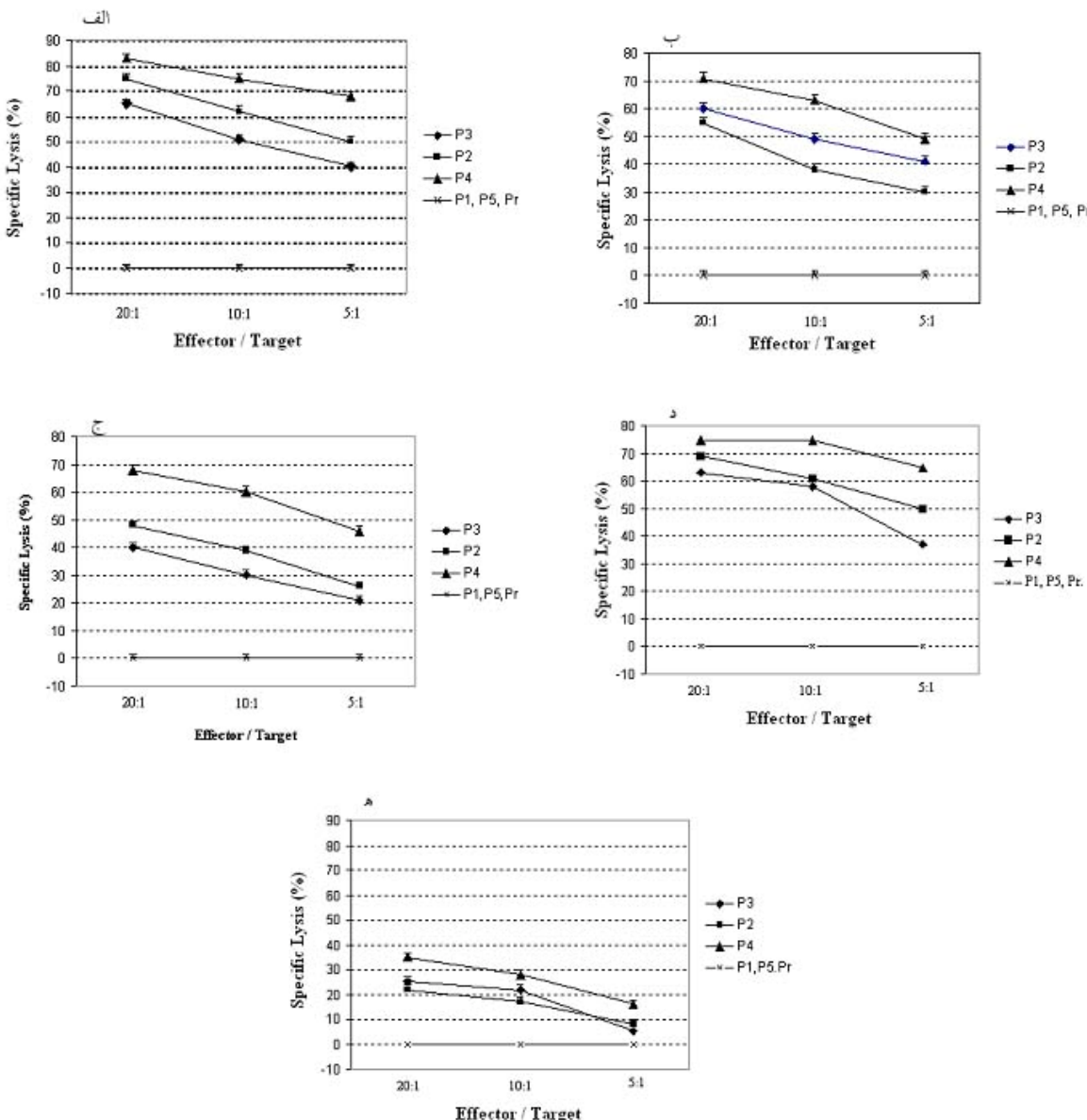
## نقش ادجوانات ها در ایمنی زایی با ...



شکل شماره ۲- آنالیز پاسخ های هومورال Total IgG و ایزوتاپ های اختصاصی در موش های ایمن شده با فرمولاسیون های مختلف به روش الیزا. در دو گروه کنترل به جای آنتی زن از PBS در فرمول مربوطه استفاده شده است؛ همچنین، گروه های مختلف موشی به صورت حروف اختصاری در محور افقی نمودارها نشان داده است (مراجعه به قسمت مواد و روش ها). تمامی تست ها بر روی سرمه مخلوط شده موش ها و به صورت تکرار سه تابی و با در نظر گرفتن SD انجام گردیده است.



شکل شماره ۳- آنالیز ترشح سیتوکاین در موش های ایمن شده به وسیله پروتئین HCVcp در فرمول های مختلف. سلول های طحال موش دو هفته بعد از آخرین تزریق جداسازی و به وسیله (۱۰  $\mu\text{g}/\text{ml}$ ) از HCVcp یا ConA به (۲  $\mu\text{g}/\text{ml}$ ) به مدت سه روز تحریک و سپس سطح IL-4 یا IL- $\gamma$  یا مترشحه اندازه گیری شدند. هر فرمول به صورت مخفف در هر ستون عمودی در نمودار نشان داده شده است (در قسمت مواد و روش های متون کاملاً توضیح داده شده است). هر تست برای ۵ موش و برای سه بار انجام شده است. انحراف از میانگین و SD در مقیاس pg/ml بیان شده است.



شکل شماره ۴- سنجش تست سایتوتکسیک T-لنسوسیت (CTL): فعالیت CTL اختصاصی بر علیه پروتئین HCVcp با استفاده از تست ارزیابی LDH-CTL در سلول‌های طحال موش‌های ایمن شده با فرمولاسیون مختلف متفاوت می‌باشد. سلول‌های طحال به وسیله پروتئین HCVcp یا اپی‌توب‌های I MHC مولکول  $H_2^d$  در موش BALB/c (P1-P4) بعد از ۶ روز دوباره تحریک شدند. پیتیدهای P1 و P5 به عنوان نمونه کنترل منفی و P3 به عنوان کنترل مثبت و P2 و P4 برای این مطالعه طراحی شده اند. پاسخ‌های CTL فقط در گروه‌های M720+CpG (الف)، (ب) و (ج) دیده شده است و در سایر گروه‌ها مشاهده نشد. در گروه د فعالیت CTL به وسیله Anti mouse CD4 و در گروه ه فعالیت (پ) و CpG (ج) دیده شده است و در سایر گروه‌ها مشاهده نشد. در گروه CTL به وسیله Anti mouse CD4 و در گروه CTL به وسیله Anti mouse CD8 با فوتیپ CTL بلوکه شد که بر فعالیت سلول‌های موثر CD4 $^{+}$ CD8 $^{+}$  دلالت دارد (اطلاعات مربوط به تعیین فوتیپ، فقط در گروه M720+CpG نشان داده شده است).

قطعه اکثر اپی‌توب‌های سلول‌های B و T را در HCVcp شامل می‌شود. به علاوه، چنین حدس زده می‌شود که ناحیه C-ترمینال پروتئین کپسید شامل اپی‌توب‌های سرکوب کننده سیستم ایمنی بوده که از فعالیت سلول‌های T, CD8 $^{+}$ , IFN- $\gamma$  CTL effector در HCVcp مولود [۳۵]. در حقیقت پروتئین HCVcp ممانعت به عمل می‌آورد [۳۵].

طبق گزارش‌های قبلی، سلول‌های E.coli که ناحیه کامل کپسید (۱-۱۹۱ اسید آمینه) را بیان کرده بودند، مدت کوتاهی پس از القاء می‌برند؛ در حالی که انواع فاقد ناحیه هیدرووفوبیک به طور موفقیت آمیزی در سیستم پروکاریوت بیان می‌شوند [۳۴]. بنابراین در مطالعه حاضر دامین هیدرووفیلیک HCVcp (۱-۱۲۲ اسید آمینه) اولیه به عنوان قطعه مورد نظر برای کلون و بیان انتخاب شد و این

بیشترین تیتر مربوط به گروه M720 می‌باشد و این در حالی است که ترکیب شامل M720+CpG اثر آناتاگونیستی ناچیزی بر روی این ایزو-تاپ داشته است (شکل شماره ۲). با توجه به اینکه ترکیب HCVcp با M720 و یا M720+CpG بیشترین تیتر ایزو-تاپ آنتی بادی IgG<sub>1</sub> و IgG<sub>2a</sub> در مقایسه با دیگر گروه‌ها را نشان داده‌اند، به نظر می‌رسد که یک پاسخ قوی و متعادل از نوع Th<sub>1</sub> و همچنین Th<sub>2</sub> ایجاد شده است. این نتایج با مطالعاتی که اخیراً روی واکسن‌های ساب یونیت علیه مالاریا انجام شده و در آن پاسخ‌های قوی Th<sub>1</sub> و Th<sub>2</sub> در موش‌ها مشاهده شده بود، مطابقت دارد [۲۳]. همچنین مشاهده شده بود که وقتی در فرمولاسیون ایمنی زایی، M720 حضور دارد به شدت در خرگوش‌ها و میمون‌ها ایمونوژنیک می‌باشد [۲۴]. اشخاص آلوده شده با HCV معمولاً آنتی بادی‌های نوع IgG<sub>1</sub> بر علیه HCVcp ایجاد می‌نمایند و از آنجایی که تیترهای بالای آنتی بادی ضد HCV همزمان با عفونت ویروس HCV باقی می‌ماند، اهمیت این آنتی بادی‌های خشنی کننده فعالیت ویروس جای بحث دارد [۱۰,۷,۳]. در مقابل موش‌های ایمن شده با HCVcp، سطوح مشابهی از آنتی بادی‌های IgG<sub>1</sub>, IgG<sub>2a</sub>, IgG<sub>2b</sub>, IgG<sub>1</sub>, IgG<sub>2a</sub> را نشان داده‌اند و ارتباطی بین زیر کلاس آنتی بادی‌های ضد core در عفونت طبیعی، برای پیشبرد و گسترش یک پاسخ ایمنی هنوز مشخص نشده است. با این همه وجود IgG<sub>2b</sub>, IgG<sub>2a</sub> ممکن است باعث پیشرفت ایمنی سلولی بر ضد Core و همچنین فعل نمودن لنفوسيت‌های T کمکی شود که باعث افزایش احتمالی Th<sub>1</sub> می‌شوند که از طریق سلول‌های T با منشاء CD<sub>4</sub><sup>+</sup> می‌باشد. در خصوص ترشح سایتوکاین CpG، یک اثر سینزیزیکی با M720 و یا اثر آناتاگونیستی با F127 مشاهده شد (شکل شماره ۳). نتایج به دست آمده در خصوص میزان ترشح IL-4 و IFN-γ در گروه‌های M720+CpG و M720 نیز با نتایج ما در خصوص زیر کلاس‌های IgG مطابقت داشته و بیان گر پاسخ‌های قوی و متعادل Th<sub>1</sub> و Th<sub>2</sub> در گروه‌های موشی M720 می‌باشد. این نتایج به وضوح بیان گر این بود که پاسخ‌های ایمنی مشاهده شده در موش‌ها وابسته به ادجوانات و به صورت اختصاصی برای آنتی-زن می‌باشد. یافته‌های ما با آنچه قبلاً نشان داده شده بود (که پروتئین core شامل ۱۲۰ اسید‌آمینه اول به همراه ادجوانات‌های فرونند یا آلوم باعث پاسخ‌های هومورال قوی و افزایش ترشح IFN-γ با اثرات ترشحی اندک IL-4 در موش‌های BalB/C می‌شوند) مطابقت دارد [۱۴]. اگر چه قبلاً نشان داده شده است که F127 با اثر سینزیزیک CpG پاسخ ایمنی علیه توکسوید کزار (TT) را بالا می‌برد [۲۶]؛ اما، این امکان وجود دارد که فقط در

بدون ناچیه هیدروفوییک C-ترمینال آن در ایجاد پاسخ آنتی بادی و سلولی قوی تر موثر است [۳۶]. ساختار طبیعی ذرهای یک آنتی ژن ممکن است فاکتور مهمی در اینمنی زایی آن باشد؛ در خصوص HCVcp نیز توانایی تشکیل ذرات VLP که در اندازه ۳۰ nm می باشد گزارش گردیده [۲۸] و اشاره شده است که ناجیه پروتئین CORE ۱-۱۹۸ اسیدآمینه بیان شده در سیستم E.coli شکل مناسب و طبیعی HCVcp را که ویژگی مهمی برای بازآرایی ساختار (refolding) پروتئین پس از انجام تخلیص به روش دناتوره، سبب به هم ریختگی ساختمان پروتئین شود [۳۷]؛ از این رو در این مطالعه یک روش ساده و قابل دسترس برای تخلیص HCVcp به حالت طبیعی (Native) ابداع شد. این روش ممکن است شکل گیری ذرهای پروتئین را نیز افزایش دهد. در حقیقت آنالیزهای مقدماتی توسط روش الیزا نشان داد که تعیین آنتی بادی های Core ویروس هپاتیت C، در سرمه های انسانی آلوده به ویروس، توسط پروتئین های تخلیص شده با روش Native بهتر از پروتئین های خالص شده به روش دناتوره می باشد (نتایج مربوطه نشان داده نشده است). در خصوص پاسخ های هومورال و ترشح سایتوکاین در گروه های مختلف موشی ایمن شده با افرمولاسیون های مختلف (آدجوانت های مختلف)، تیتر های متفاوت از IgG اختصاصی نشان داده شد (شکل شماره ۲). در بین گروه های مطالعه، گروه ایمن شده با فرمولاسیون دو ادجوانت (CpG + CpG) مشخص شد که این دو ادجوانت با هم اثر سینزیزیک (M720) دارند. در تأیید نتایج تحقیق حاضر، مطالعات انجام شده در گذشته نیز بیان گر آن است که اضافه کردن CpG به ترکیبی از HCV core NS3 یا QuilA [۱۹] یا لیپوزوم [۲۰]، مخلوطی از HCV harboring ASIB و (ادجوانت های مونوفسفوریل لپید MLP) [۳۸] و مخلوطی از گلیکوپروتئین HBsAg با ادجوانت هایی مانند آلوم، (A) و فرمولی از IFN-4 مرتبط به تنها یک کار رفته بود را موجب شده اند [۳۹]. سلول ادجوانت به تنها یک کار رفته بود را موجب شده اند [۳۹]. سلول T کمکی و سایتوکاین هایی مانند  $\gamma$ -IFN و IL-4 که به ترتیب به وسیله سلول های Th<sub>1</sub> و Th<sub>2</sub> ترشح می شوند، با ایجاد پاسخ های IgG مرتبط هستند [۷، ۳]؛ در حقیقت IL-4 با پاسخ IgG2b مرتبط بوده، در حالی که IFN- $\gamma$  با تولید IgG2a غالب از نوع IgG2a (پاسخ سلول های Th<sub>1</sub>) بوده است که

دهنده آن است که سلول‌های طحال ایمن شده با HCVcp اختصاصی با آنتی ژن تحریک می‌شود) و هیچ گونه پاسخ ایمنی ناشی از مواد آلوده کننده کشت *E.coli* باعث ایجاد پاسخ‌های اختصاصی نمی‌گردد. همان گونه که در شکل شماره ۴، د نشان داده شده است، پاسخ‌های اختصاصی از نوع  $CD8^+$  می‌باشد و این پاسخ در گروههای CpG، CpG+M720 و M720+CpG پس از یک سال از آخرین ایمنی زایی نیز همچنان حفظ شده بود. گزارشات HCVcp قبلی نشان داده‌اند که فرمولاسیون (۱۹۱۱-۱ اسید آمینه) ISCOM غیر کلاسیک [۱۳] و یک ترکیب از پروتئین gag ویروس HIV [۴۱] سبب ایجاد پاسخ‌های قوی سلولی و هومورال T-cell  $CD8^+$  همراه با پاسخ‌های Th1 با طول عمر زیاد و از نوع  $CD8^+$  در میمون‌های رزووس می‌شود. در کل، القای CTL مستلزم بیان و عرضه آنتی ژن به صورت درون سلولی است و با واسطه تحریک MHC می‌باشد؛ در حالی که آنتی ژن‌های پروتئینی با منشاء Tcell  $CD4^+$  خارج سلولی به وسیله MHC II به سلول‌های HCVcp عرضه می‌گردد [۴۲]. ایمن سازی موش‌ها با فرمول M720/CpG سبب تحریک سلول‌های T-cell  $CD8^+$  اختصاصی بر علیه Core می‌گردد و همچنین باعث تحریک سلول‌های ترشح کننده آنتی بادی اختصاصی نیز می‌گردد. از این رو مکانیسم‌های عمدۀ در ارائه آنتی ژن‌های خارج سلولی درون سلولی باید استفاده شده باشد [۶، ۱۷]. کاربرد آدجوانات‌های M720/CpG، همان گونه که برای دیگر سیستم‌های حامل نشان داده شده، تقویت در عرضه آنتی ژن‌های داخل سلولی را فراهم می‌نماید [۱۶]. مکانیسم‌های موثر در بقاء CTL های خاطره ای هنوز روشن نیست؛ اما تصور می‌شود استفاده همزمان از آنتی ژن و آدجوانات، یک فاکتور موثر در این زمینه باشد [۱۶، ۱۷]. مکانیسم‌های مسوول ایجاد سلول‌های T خاطره‌ای و ایجاد یک پاسخ قوی اختصاصی CTL به دنبال این ایمنی زایی، یک راهکار برای افزایش پاسخ‌های Tcell  $CD8^+$  به منظور پیشگیری و یا درمان عفونت HCV اهمیت دارند [۳]. شکری و همکاران [۹] نقش اساسی سلول‌های T خاطره‌ای از نوع  $CD8^+$  را در محافظت طولانی مدت در عفونت مزمن HCV، پاکسازی ویروس و بهبودی نشان دادند و از نتایج ما چنین استباط می‌شود که آنتی ژن HCVcp همراه با ادجوانات‌های M720+CpG سلول‌های T اختصاصی علیه Core را جهت پاسخ ایمنی هومورال و سلولی در موش‌ها به خوبی تحریک می‌کند و بنابراین ارزش دارد که بیشتر مورد مطالعه قرار گیرد و جهت بررسی واکسن HCV در پریمات‌های غیر انسانی

ارتباط با افزایش پاسخ‌های هومورال باشد؛ در مقابل نتایج ما نشان می‌دهد که فرمولاسیون F127 با HCVcp نه تنها موجب افزایش ترشح سایتوکاین نمی‌شود؛ بلکه حتی مقداری اثر آنتاگونیستی بین ترکیب F127 و CpG وجود دارد. قابل ذکر است، یک سال پس از آخرین ایمنی زایی در موش‌ها، فقط گروههای ایمن شده با ترکیبات F127 و CpG+F127 حداقل کاهش تیتر آنتی بادی اختصاصی IgG را داشته‌اند. به دنبال تزریق F127 به بدن، ماتریکس F127 به وسیله خاصیت ژله‌ای شدن حرارتی معکوس (Reverse thermal gelation) باعث ایجاد قالب ژلاتینی شده (تحت دمای فیزیولوژیک بدن) و بنابراین به عنوان یک منبع ذخیره کننده و آزاد کننده آهسته آنتی ژن به سیستم ایمنی عمل می‌نماید [۲۵، ۲۷]؛ بنابراین، در این مطالعه پاسخ آنتی بادی با طول عمر طولانی با فرمولاسیون F127، می‌تواند به دلیل خاصیت حفاظتی و ماتریکس پلورونیک اسید (F127) باشد که آنتی ژن را در وضعیت طبیعی (Native) حفظ می‌نماید و یا به علت افزایش طول عمر آنتی بادی مترشحه در مغز استخوان که در مطالعه بر روی اثر ایمنی زایی توکسوئید کزارز به همراه F127 گزارش شده است [۲۶، ۲۷]. نتایج به دست آمده از تزریق HCVcp به تهایی (بدون کاربرد آدجوانات‌ها)، بیان گر این است که آنتی ژن مذکور ذاتاً ایمنوژن ضعیفی است؛ این نتیجه تأیید کننده مشاهدات قبلی در خصوص ضعف ایمنی زایی HCVcp در غیاب ادجوانات‌های مناسب می‌باشد [۱۴]. در این مطالعه همه ترکیبات ادجواناتی به کار رفته به خوبی توسط موش‌های ایمن شده تحمل می‌شوند. طبق گزارش‌های قبلی، عموماً وقتی M720 به تهایی تزریق می‌شود به خوبی تحمل شده، اما بسته به طبیعت آنتی ژن ترکیب شده با آن، بعضی اثرات نامطلوب ممکن است مشاهده شود که احتیاج به بررسی مجزا برای هر آنتی ژن دارد [۴۰]. نهایتاً هیچ آنتی بادی اختصاصی علیه HCVcp و یا ترشح سایتوکاین در نمونه موش‌های کنترل که با ترکیبات ادجوانات در PBS (بدون تزریق شده بودند، مشاهده نگردید (شکل‌های شماره ۲ و ۳). در خصوص بررسی پاسخ‌های سایتوکسیک (CTL) در گروههای CpG، M720+CpG، M720 و P815( $H^{2d}$ ) در نسبت‌های سلول‌های حامل به سلول‌های هدف (Effector: Target) مشاهده گردید (شکل شماره ۴). پاسخ‌های اختصاصی سلول‌های T  $CD8^+$  با استفاده از پیتیدهای  $P_3$  و  $P_2$  که مختص پاسخ‌های  $CD8^+H^{2d}$  بود، CTL  $CD8^+H^{2d}$  نشان داده شده است. در مقابل در گروههای ایمن شده با آنتی ژن و یا با پیتیدهای کنترل منفی ( $P_1$ ،  $P_4$ ) پاسخ قابل تشخیص سایتوکسیک (CTL) مشاهده نگردید (این نتایج همچنین نشان

همچنین آنتی بادی های با ایزوتاپ IgG1, IgG2a, IgG2b به همراه پاسخ CTL های اختصاصی از نوع CD4-CD8+ با طول عمر طولانی تر ایجاد می نماید و نهایتاً یک اپسی توپ اختصاصی HCVcp CTL علیه HCV از این ۲۷-۳۹ اینه شامل اسیدهای آمینه است.

### تشکر و قدردانی

این مقاله نتیجه بخشی از طرح تحقیقاتی مصوب انسستیتو پاستور ایران می باشد. بدین وسیله از زحمات همکاران گرامی سرکار خانم دکتر سیما رافتی، جناب آقایان دکتر محمد علی شکرگزار و دکتر کیهان آزادمش که با راهنمایی های تکنیکی ما را در انجام این پروژه یاری رساندند، صمیمانه سپاسگزاری و قدردانی می شود.

نیز استفاده گردد؛ چرا که پاسخ های سلولی  $CD8^+$  Tcell و  $Th_1/Th_2$  هر دو در ایجاد ایمنی محافظتی علیه HCV مهم هستند.

### نتیجه گیری

در مطالعه حاضر ما برای اولین بار کاربرد سیستم بیانی - القایی آرایبینوز در E.coli را جهت تولید HCVcp به عنوان یک روش کاربردی و آسان جهت تولید و تخلیص HCVcp به فرم طبیعی یا Native ارائه کردیم و اطلاعات مهمی در مورد استفاده از ۳ ادجوانات سازگار با انسان و فرموله با HCVcp ارائه نمودیم. در این مطالعه شواهدی ارائه گردیده که فقط زمانی که با (CpG) M720 مخلوط یا فرموله شده باشد، یک پاسخ ایمنی قوی و متعادل همراه با ترشح مقادیر بالای  $\gamma$ -IFN-4 و IL-4

### References:

- [1] Hagedon CH, Rice CM, The Hepatitis C Viruses. Current Topics in Microbiology and Immunology. Vol. 242. Berlin: Springer; 2000.
- [2] Cohen J. The scientific challenge of hepatitis C. *Science* 1999; 285: 26–30.
- [3] Pawlotsky JM. Hepatitis: HCV variability, the immune system and resistance to antiviral drugs. *Nat Rev Gastroenterol Hepatol* 2009; 6(7): 383-5.
- [4] Aghasadeghi MR, Sadat SM, Amini S, Budkowska A, Roohvand F. Cloning, optimization of expression, purification and evaluation of immunological properties of Hydrophilic section of HCV core protein by AraBad-T7 promoter in E.coli. *Blood Journal* 2006, 2(6): 223-31. [in Persian]
- [5] Aghasadeghi MR, Sadat SM, Budkowska A, Khabiri AR, Amini S, Bahramali G, et al. Evaluation of a native preparation of HCV core protein (2-122) for potential applications in immunization, diagnosis and mAb production. *Iranian journal of public health* 2006; 35(1): 1-10. [in Persian]
- [6] Weck K. Molecular methods of hepatitis C genotyping. *Expert Rev Mol Diagn* 2005; 5 (4): 507–20.
- [7] Bowen DG, Walker CM. Adaptive immune responses in acute and chronic hepatitis C virus infection. *Nature* 2005; 436(7053): 946–52.
- [8] Vertuani S, Bazzaro M, Gualandi G, Micheletti F, Marastoni M, Fortini C, et al. Effect of interferon-alpha therapy on epitope-specific cytotoxic T lymphocyte responses in hepatitis C virus-infected individuals. *Eur J Immunol* 2002; 32: 144–54.
- [9] Shoukry NH, Grakoui A, Houghton M, Chien DY, Ghrayeb J, Reimann KA, et al. Memory CD8+ T cells are required for protection from persistent hepatitis C virus infection. *J Exp Med* 2003; 197(12):1645–55.
- [10] Lechner F, Wong DK, Dunbar PR, Chapman R, Chung RT, Dohrenwend P, et al. Analysis of successful immune responses in persons infected with hepatitis C virus. *J Exp Med* 2000; 191(9): 1499–512.
- [11] Christie JM, Chapel H, Chapman RW, Rosenberg WM. Immune selection and genetic sequence variation in core and envelope regions of hepatitis C virus. *Hepatology* 1999; 30(4): 1037–44.
- [12] Weiner A, Erickson AL, Kansopon J, Crawford K, Muchmore E, Hughes AL, et al. Persistent hepatitis C virus infection in a chimpanzee is associated with emergence of a cytotoxic T lymphocyte escape variant. *Proc Natl Acad Sci USA* 1995; 92(7): 2755–9.
- [13] Polakos NK, Drane D, Cox J, Ng P, Selby MJ, Chien D, et al. Characterization of hepatitis c virus core-specific immune responses primed in rhesus macaques by a nonclassical ISCOM vaccine. *J Immunol* 2001; 166(5): 3589–98.
- [14] Alvarez-Obregon JC, Duenas-Carrera S, Valenzuela C, Grillo JM. A truncated HCV core protein elicits a potent immune response with a strong participation of cellular immunity components in mice. *Vaccine* 2001; 19(28-29): 3940–6.
- [15] Lindblad EB. Aluminium adjuvants—in retrospect and prospect. *Vaccine* 2004; 22(27–28): 3658–68.
- [16] Marciani DJ. Vaccine adjuvants: role and mechanisms of action in vaccine immunogenicity. *Drug Discov Today* 2003; 8(20): 934-43.
- [17] Corradin G, del Giudice G. Novel Adjuvants for Vaccines. *Curr Med Chem—Anti-Inflammatory Anti-Allergy Agents* 2005; 4: 1–7.

- [18] Sugauchi F, Wang RY, Qiu Q, Jin B, Alter HJ, Shih JW. Vigorous hepatitis C virus-specific CD4+ and CD8+ T cell responses induced by protein immunization in the presence of Montanide ISA720 plus synthetic oligodeoxynucleotides containing immunostimulatory cytosine-guanine dinucleotide motifs. *J Infect Dis* 2006; 193(4): 563–72.
- [19] Yu H, Babiuk LA, Hurk S. Priming with CpG-enriched plasmid and boosting with protein formulated with CpG oligodeoxynucleotides and Quil A induces strong cellular and humoral immune responses to hepatitis C virus NS3. *J Gen Virol* 2004; 85(Pt 6): 1533–43.
- [20] Jiao X, Yan-Hui Wang R, Qiu Q, Alter HJ, Shin WK. Enhanced hepatitis C virus NS3 specific Th1 immune responses induced by codelivery of protein antigen and CpG with cationic liposomes. *J Gen Virol* 2004; 85: 1545–53.
- [21] Qiao M, Murata K, Davis AR, Jeong SH, Liang TJ. Hepatitis C virus-like particles combined with novel adjuvant systems enhance virus-specific immune responses. *Hepatology* 2003; 37(1): 52–9.
- [22] Jeong SH, Qiao M, Nascimbeni M, Hu Z, Rehermann B, Murthy K, et al. Immunization with hepatitis C virus-like particles induces humoral and cellular immune responses in nonhuman primates. *J Virol* 2004; 78 (13): 6995–7003.
- [23] Sachdeva S, Mohammed A, Dasaradhi PV, Crabb BS, Katyal A, Malhotra P, et al. Immunogenicity and protective efficacy of Escherichia coli expressed Plasmodium falciparum merozoite surface protein-1(42) using human compatible adjuvants. *Vaccine* 2006; 24(12): 2007–16.
- [24] Pan W, Huang D, Zhang Q, Qu L, Zhang D, Zhang X, et al. Fusion of two malaria vaccine candidate antigens enhances product yield, immunogenicity, and antibody-mediated inhibition of parasite growth in vitro. *J Immunol* 2004; 172: 6167–74.
- [25] Schmolka IR, A comparison of block copolymer surfactant gels. *J Am Oil Chem Soc* 1997; 68(1997): 206–9.
- [26] Westerink MA, Smithson SL, Srivastava N, Blonder J, Coeshott C, Rosenthal GJ. ProJuvantTM (Pluronic 127/\_chitosan) enhances the immuneresponse to intranasally administered tetanus toxoid. *Vaccine* 2002; 20: 711–23.
- [27] Coeshott CM, Smithson SL, Verderber E, Samaniego A, Blonder JM, Rosenthal GJ, et al. Pluronic F127-based systemic vaccine delivery systems, *Vaccine* 2004; 22(19): 2396–405.
- [28] Acosta-Rivero N, Rodriguez A, Mussachio A, Poutou J, Falcon V, Torres D, et al. C terminal truncated hepatitis C virus core protein variant assembles in vitro into virus-like particles in the absence of structured nucleic acids. *Biochem Biophys Res Commun* 2005; 334: 901–6.
- [29] Guzman LM, Belin D, Carson MJ, Beckwith J, Tight regulation, modulation and high-level expression by vectors containing the arabinose PBAD promoter. *J Bacteriol* 1995; 177: 4121–30.
- [30] Leenars PPAM, Hendriksen CFM, Leeuw WAD, Carat F, Leeuw WA, Carat F, et al. The production of polyclonal antibodies in laboratory animals. The report and recommendations of ECVAM workshop 35. *ATLA* 1999, 27: 79–102.
- [31] Samani TD, Jolles B, Laigle A, Best minimally modified antisense ligonucleotides according to cell nuclease activity. *Antisense Nucleic Acid Drug Dev* 2001; 11 (3): 129–36.
- [32] Hu GJ, Wang RY-H, Han DS, Alter HJ, Characterization of the humoral and cellular immune responses against hepatitis C virus core induced by DNA-based immunization. *Vaccine* 1999, 17: 3160–70.
- [33] Maillard P, Lavergne JP, Sibéral S, Faure G, Roohvand F, Petres S, et al. Fc gamma receptor-like activity of hepatitis C virus core protein. *J Biol Chem* 2004; 279: 2430–7.
- [34] Dueñas-Carrera S, Alvarez-Lajonchere L, Alvarez JC, Ramos T, Pichardo D, Morales J. Repeated administration of hepatitis C virus core-encoding plasmid to mice does not necessarily increase the immune response generated against this antigen. *Biotechnol Appl Biochem* 2001, 33: 47–51.
- [35] Anderson HA, Singh RAK, Barry MA. Activation of refractory T cell responses against hepatitis C virus core protein by ablation of interfering hydrophobic comains. *Mol Ther* 2006; 13(2): 338–46.
- [36] Isagulians MG, Petrakova NV, Kashuba EV, Suzdaltzeva YG, Belikov SV, Mokhonov VV, et al. Immunization with hepatitis C virus core gene triggers potent T-cell response, but affects CD4+ T-cells. *Vaccine* 2004; 22 (13–14): 1656–65.
- [37] Mihailova M, Fiedler M, Boos M, Petrovskis I, Sominskaya I, Roggendorf M, et al. Preparation of hepatitis C virus structural and non-structural protein fragments and studies of their immunogenicity. *Protein Expr Purif* 2006; 50(1): 43–8.
- [38] Weeratna RD, McCluskie MJ, Xu Y, Davis HL, CpG DNA induces stronger immune responses with less toxicity than other adjuvants. *Vaccine* 2000; 18(17): 1755–62.
- [39] Ioannou XP, Gomis SM, Karvonen B, Hecker R, Babiuk LA, van Drunen Littel-van den Hurk S. CpG-containing oligodeoxynucleotides, in combination with conventional adjuvants, enhance the magnitude and change the bias of the immune responses to a herpesvirus glycoprotein. *Vaccine* 2002; 21(1–2):127–37.
- [40] Audran R, Cachat M, Lurati F, Soe S, Leroy O, Corradin G, et al. Phase I malaria vaccine trial with a long synthetic peptide derived from the merozoite surface protein 3 antigen. *Infect Immun* 2005; 73 (12): 8017–26.

نقش ادجوانات ها در اینمی زایی با ...

- [41] Wille-Reece U, Flynn BJ, Lore K, Koup RA, et al. Toll-like receptor agonists influence the magnitude and quality of memory T cell responses after prime-boost immunization in nonhuman primates. *J Exp Med* 2006; 203(5): 1249–58.
- [42] Pamer E, Cresswell P. Mechanisms of MHC class I-restricted antigen processing. *Annu Rev Immunol* 1998; 16: 323–58.

Archive of SID